

بررسی رفتار فشاری نانوماده‌ی مرکب مستحکم با زمینه‌ی آلومینیم تقویت شده با نانوذرات آلومیناید منیزیم*

اشکان ذوالریاستین^(۱)رسول آذری خسروشاهی^(۲)

چکیده

در این پژوهش، نوع جدیایی از نانوماده‌ی مرکب با زمینه‌ی آلومینیم تقویت شده با نانوذرات با ترکیب پیچیاده‌ی بین فلزی $\beta\text{-Al}_3\text{Mg}_2$ به روش متالورژی پودر تهیه شد. نخست و به منظور تولید نانو ذرات، پودر شمش پیش آلیاژ شده‌ی $\text{Al}-40 \text{ wt.\% Mg}$ به مدت زمان ۱۰۰ ساعت آسیاکاری مکانیکی شد و نانوذرات به دست آمده با اندازه‌ی حدود ۲۵ نانومتر و مقادیر مختلف پودر آلومینیم، به مدت زمان ۱۰ ساعت آسیا شاند و در ادامه، برای تهیه نمونه‌های نانوماده‌ی مرکب، در دمای 400°C و با فشار 600 MPa فشرده (پرس‌کاری) شاند. نتایج چگالی سنجی، کاهش وزن نمونه‌های نانوماده‌ی مرکب بهمراه کاهش چگالی نسبی را نشان دادند و این به سبک‌تر شدن نانوماده‌ی مرکب با افزودن نانوذرات سبک آلومیناید منیزیم نسبت داده شد. نتایج بررسی‌های مکانیکی، افزایش چشم‌گیر و پیوسته سختی و استحکام را با افزایش میزان نانوذرات نشان دادند. با افزودن ۲۰ Wt.% تقویت کننده، سختی و استحکام تسلیم بهترتبی از حدود ۳۵ بریل و 87 MPa برای آلومینیم خالص به حدود ۱۷۶ بریل و 625 MPa افزایش یافت، ولی با توجه به کاهش انعطاف‌پذیری نمونه‌ها با افزودن فاز تقویت کننده، میزان ۱۰ درصد وزنی تقویت کننده به عنوان مقدار بهینه انتخاب شد.

واژه‌های کلیدی: نانوماده‌ی مرکب، نانوذرات، آلومیناید منیزیم، آسیاکاری مکانیکی.

Compressive Behavior of a High-Strength Al-Based Nanocomposite Reinforced with Magnesium Aluminide Nanoparticles

A. Zolriasatein

R. Azari Khosroshahi

Abstract

In this work, a new aluminum matrix nanocomposite reinforced with beta-magnesium aluminide nanoparticles was produced by powder metallurgy technique. The prealloyed $\text{Al}-40 \text{ wt.\% Mg}$ intermetallic ingot was milled for 100 hours to synthesize $\beta\text{-Al}_3\text{Mg}_2$ nanoparticles with the average size of 25 nm. Different amounts of nanoparticles were added to Al matrix powder and the mixture was then milled for 10 hours. $\text{Al}/\beta\text{-Al}_3\text{Mg}_2$ nanocomposite samples were prepared by hot pressing of the composite powders in a uniaxial die at 400°C under the constant pressure of 600 MPa for 2 hours. The results of density measurements revealed that both the density and relative density of nanocomposite samples decrease due to the usage of superlight $\beta\text{-Al}_3\text{Mg}_2$ reinforcement. Mechanical properties of the nanocomposites were significantly improved with increasing the reinforcement content. Increasing the amount of $\beta\text{-Al}_3\text{Mg}_2$ nanoparticles continuously improved the hardness and yield strength of composites from 35 BHN and 87 MPa for pure aluminum to approximately 176 BHN and 625 MPa for the sample containing 20 wt.% $\beta\text{-Al}_3\text{Mg}_2$ nanoparticles, respectively. However, the addition of more reinforcement particles up to 20 wt.% resulted in a decrease in the ultimate strain of the samples, and hence, 10 wt.% nanoparticles was considered to be the optimum content of the reinforcement component.

Keywords Nanocomposite, Nanoparticle, Magnesium Aluminide, Mechanical milling.

* نسخه‌ی نخست مقاله در تاریخ ۹۱/۸/۲۰ و نسخه‌ی پایانی آن در تاریخ ۹۲/۷/۲۲ به دفتر نشریه رسیده است.

(۱) دانشجوی دکتری، دانشگاه صنعتی سهند تبریز، دانشکده مهندسی مواد

(۲) نویسنده‌ی مسئول، دانشیار، دانشگاه صنعتی سهند تبریز، دانشکده مهندسی مواد

شده است. افزون بر این، اخیراً از تقویت کننده‌های غیرمتداول مانند نانولوله‌ها و نانوساختارهای کربنی، [11]، فلزات بی‌شکل و شبه‌بلورها، [6]، استفاده شده است. به تازگی مبحث جدیدی در علم مهندسی مواد مطرح شده است که به بررسی ساختارهای پیچیده‌ی بلورین می‌پردازد.

ترکیبات پیچیده‌ی فلزی (Complex metallic alloys) نوعی از ترکیبات بین فلزی هستند که در ساختار بلوری خود دارای سلول‌های واحد بسیار بزرگی مشتمل بر هزاران اتم هستند. از این‌رو، دارای شبکه‌های بلوری بسیار بزرگ با پارامتر شبکه‌ای در حدود نانومتر می‌باشند [12].

یکی از کاربردهای نوینی که می‌توان برای ترکیبات فوق‌الذکر در نظر گرفت، استفاده از آن‌ها به عنوان فاز تقویت کننده در مواد مرکب و نانومواد مرکب است. برخورداری از خواص مهمی نظیر نسبت بالای استحکام به وزن، مقاومت به اکسایش و استحکام در دمای بالا، آن‌ها را به جای گزینی مناسب برای سرامیک‌های قدیمی به عنوان فاز تقویت کننده در نانومواد مرکب تبدیل کرده است. بهین ترتیب می‌توان مواد مرکب سبک‌تر، مستحکم‌تر و با کارایی بهتر تولید کرد که در صنایع گوناگونِ حمل و نقل و هوافضا کاربرد دارد [13]. در میان ترکیبات CMA، فاز بتای آلومیناید منیزیم ($\beta\text{-Al}_3\text{Mg}_2$) با ترکیب شیمیایی در محدوده‌ی ۳۶/۱ تا ۳۷/۸ درصد وزنی منیزیم (مطابق با شکل ۱-الف)، و دارا بودن ۱۱۶۸ اتم در هر سلول واحد و پارامتر شبکه در حدود ۲/۸ نانومتر، یکی از بزرگ‌ترین و پیچیده‌ترین ترکیبات CMA می‌باشد (شکل ۱-ب) [14,15].

توجه به روش ساخت، ساختار، خواص و کاربرد این ترکیب بیشتر از سایر ترکیبات CMA بوده است و نتایج بالارزشی برای آن به دست آمده است [15]. این ترکیب دارای خواصی است که آن را به بهترین گزینه برای استفاده به عنوان تقویت کننده در

مقدمه

محققین در تلاشند تا به منظور کاهش میزان مصرف سوخت و جلوگیری از گسترش آلودگی‌ها، وسائل نقلیه‌ی سبک‌تری تولید کنند. برای این منظور لازم است تا به جای مواد متداول، از مواد جدید و سبک‌تر و با کارایی بهتر استفاده کرد [1,2]. در این میان، مواد مرکب زمینه فلزی (metal matrix composites) و به خصوص زمینه آلمینیمی آن، بسیار مورد توجه محققین قرار گرفته‌اند. این مواد مرکب به دلیل داشتن خواص مهمی از جمله چگالی کم، استحکام بالا و مقاومت به خستگی و خوردگی مناسب، مورد توجه قرار گرفته‌اند [3,4].

نقش ذرات تقویت کننده در خواص مواد مرکب اهمیت بسیاری دارد. شکل، اندازه، مورفولوژی و ترکیب شیمیایی این ذرات تأثیر زیادی بر روی خواص مواد مرکب دارند. در میان تقویت کننده‌های ناپیوسته، تقویت کننده‌های ذره‌ای به دلیل روش‌های تولید ارزان‌تر و ساده‌تر و خواص هم‌سان‌گردد، در مقایسه با تقویت کننده‌های پیوسته توجه بیشتری را به خود جلب کرده‌اند [4]. مواد مرکب با تقویت کننده‌های ذره‌ای را می‌توان به خوبی با روش‌های متالورژی پودر تولید کرد. مزیت روش‌های پودری در مقایسه با روش‌های ذوبی را می‌توان به امکان کنترل ریزساختار، کسر حجمی، اندازه و مورفولوژی فازهای زمینه و تقویت کننده مربوط دانست. از طرف دیگر، به دلیل پایین بودن دمای کارکرد آن‌ها، از وقوع واکنش‌های ناخواسته بین زمینه و تقویت کننده در فصل مشترک آن‌ها که منجر به افت خواص مکانیکی می‌شود، جلوگیری به عمل می‌آید [5,6].

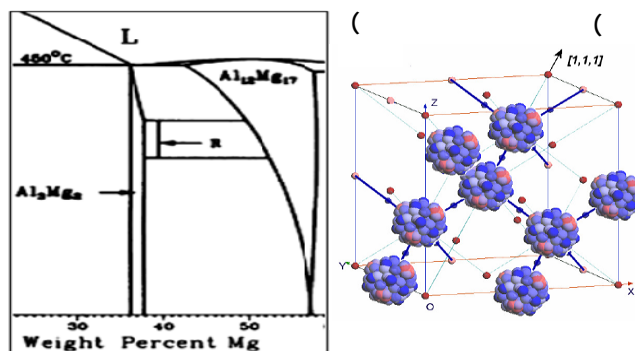
از مواد مختلفی می‌توان به عنوان فاز تقویت کننده استفاده کرد. تاکنون بیشتر از تقویت کننده‌های سرامیکی متداول مانند کاربیدهای (TiC, B₄C)، [۸و۷]، نیتریدهای (AlN)، [9]، و اکسیدهای فلزی (Al₂O₃)، [10]، با اندازه‌های نانومتری و یا میکرومتری استفاده

روش تحقیق

در این پژوهش، نخست به ساخت شمشی از CMA از طریق ذوبی و آلیاژسازی با ترکیب Al-40wt%Mg احتساب ۲ درصد اتلاف منیزیم با وجود انجام عملیات در محیط گاز آرگون، پرداخته شد. در ادامه، شمش‌ها خرد و سرند شدند تا پودر اولیه‌ی میکرونی از ترکیب موردنظر تهیه شود. سپس، نانوذرات با ترکیب پیچیده‌ی $\beta\text{-Al}_3\text{Mg}_2$ به روش آسیاکاری مکانیکی با شرایط ذکر شده در جدول ۱، تولید شد تا در مرحله‌ی ساخت نانوماده‌ی مرکب، پودر آلومینیم با درصدهای وزنی مختلف (۰، ۱، ۳، ۵، ۷، ۱۰، ۱۵ و ۲۰ درصد) به زمینه اضافه شود.

نانوماده‌ی مرکب تبدیل ساخته است. از جمله‌ی این خواص می‌توان به چگالی پائین (در حدود $2/25 \text{ g/cm}^3$) و استحکام در دمای بالا (300 MPa در دمای 573 K) [۱۳, ۱۷] اشاره کرد.

پس از تحقیقات اسکودینو و همکارانش بر روی ماده‌ی مرکب $\text{Al}/\beta\text{-Al}_3\text{Mg}_2$ [۱۳]، نانوماده‌ی مرکب زمینه آلومینیمی با نانوذرات $\beta\text{-Al}_3\text{Mg}_2$ برای نخستین بار به روش آلیاژسازی مکانیکی و پرس گرم تهیه شد [۱۸]. هدف از انجام این تحقیق، بررسی تأثیر میزان فاز تقویت کننده بر چگالی، سختی و استحکام فشاری نانوماده‌ی مرکب با زمینه‌ی آلومینیم که به روش متالورژی پودر، آسیاکاری مکانیکی و پرس گرم تهیه شده است، می‌باشد.



شکل ۱. (الف) ساختار خوشای اتمی در شبکه‌ی بلوری ترکیب $\beta\text{-Al}_3\text{Mg}_2$ [۱۵]، (ب) بخشی از نمودار فازی تعادلی Al-Mg [۱۶].

جدول ۱. شرایط آسیاکاری برای ساخت نانوپودر از پودر اولیه‌ی پیش آلیاژ شده با ترکیب $\beta\text{-Al}_3\text{Mg}_2$

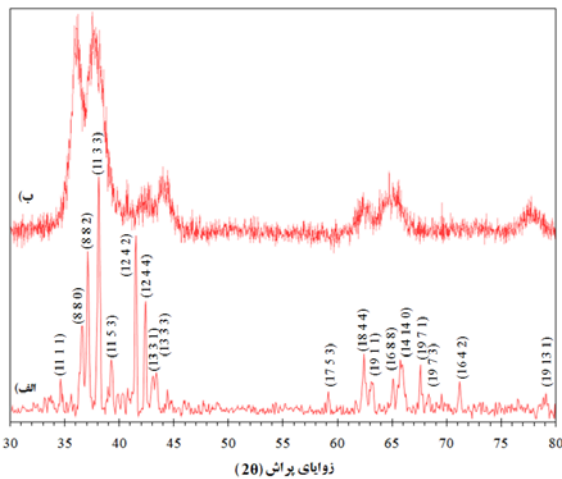
مواد اولیه‌ی ورودی به آسیا	پودر پیش آلیاژ شده با ترکیب $\text{Al}_{60}\text{Mg}_{40}$ با اندازه ذرات $250 \mu\text{m}$
نوع آسیا	آسیا گلوله‌ای سایشی
زمان آسیاکاری	۱۰۰ h
سرعت گردش آسیا	۲۷۰ RPM
محیط آسیا	گاز آرگون با فشار ۱ bar
نسبت وزن گلوله به پودر	۱ به ۱۲
عامل کترل فرایند	اسید استماریک (۲wt.%)
دماه آسیاکاری	کنترل شده با سیستم آب گرد

نتایج و بحث

در این بخش، نخست به مشخصه‌یابی نانوذرات ساخته شده که به عنوان تقویت کننده در نانوماده‌ی مرکب زمینه آلومینیمی به کار رفته است، پرداخته می‌شود و در ادامه، نمونه‌های نانوماده‌ی مرکب از دیدگاه‌های چگالی، سختی و خواص فشاری مورد بررسی قرار می‌گیرند.

مشخصه‌یابی نانوذرات $\beta\text{-Al}_3\text{Mg}_2$

در شکل (۲-الف)، الگوی پراش اشعه‌ی ایکس از پودر اولیه‌ی ترکیب Al-40wt%Mg دیده می‌شود. همان‌طور که در تصویر XRD مشاهده می‌شود، تنها پیک‌های مربوط به ترکیب $\beta\text{-Al}_3\text{Mg}_2$ وجود دارند. در شکل (۲-ب)، محصول فرایند آسیاکاری مکانیکی بر روی پودر اولیه به مدت زمان ۱۰۰ ساعت، نشان داده شده است.



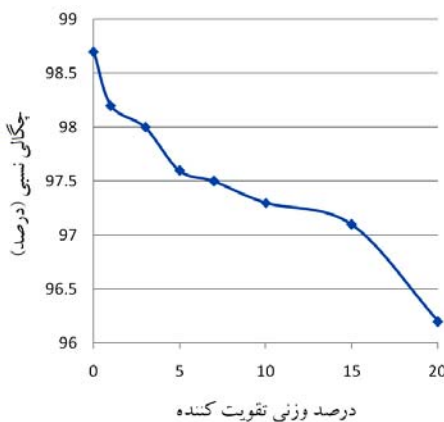
شکل ۲ الگوی پراش اشعه‌ی ایکس، (الف) پودر اولیه‌ی $\beta\text{-Al}_3\text{Mg}_2$ ، (ب) پودر آسیاکاری شده $\beta\text{-Al}_3\text{Mg}_2$ به مدت زمان ۱۰۰ ساعت

همان‌گونه که مشاهده می‌شود، با انجام عملیات آسیاکاری مکانیکی، پیک‌های الگوی پراش اشعه‌ی ایکس به شدت پهن شده‌اند، شدت تمامی پیک‌ها کاهش یافته‌اند و پیک‌هایی با شدت کمتر حذف

شروع در نظر گرفته شده در آسیاکاری مخلوط نانوماده‌ی مرکب، در جدول (۲) آورده شده است. در این میان، بررسی‌های فازی و ریزساختاری بر روی نانوذرات تولید شده با فرایند آسیاکاری مکانیکی، به‌وسیله‌ی روش پراش اشعه‌ی ایکس (XRD) و میکروسکوپ الکترونی عبوری (TEM) انجام شدند. در ادامه، به‌منظور تولید نمونه‌های نانوماده‌ی مرکب، مخلوط پودر تحت فرایند فشردن (پرسکاری) گرم در دمای 400°C و فشار 600 MPa به مدت زمان ۲ ساعت قرار گرفت. در نهایت، چگالی و خواص مکانیکی از جمله سختی و ویژگی‌های فشاری نمونه‌های نانوماده‌ی مرکب تولید شده، اندازه‌گیری شدند. چگالی به دو روش هندسی و ارشمیدس اندازه‌گیری شد. از آزمون سختی سنجی نوع بربنل با قطر ساقمه‌ی فرورونده برابر با $2/5\text{ mm}$ و نیروی 30 kg استفاده شد. به‌منظور انجام آزمون فشار، نمونه‌هایی با نسبت طول به قطر (L/D) برابر با $1/4$ (قطر 10 mm و طول 14 mm) از نمونه‌های پرس گرم شده با عملیات تراشکاری ساخته شد. از دستگاه آزمون کشش/فشار با ظرفیت ۷ تن و سرعت حرکت فک $0/2\text{ mm/min}$ استفاده شد.

جدول ۲ شرایط آسیاکاری برای ساخت مخلوط پودر نانوماده‌ی مرکب $\text{Al}/\beta\text{-Al}_3\text{Mg}_2$

مواد اولیه‌ی ورودی به آسیا	پودر آلمینیم خالص (99.9 wt.\%) نانوپودر ($150\text{ }\mu\text{m}$)
نوع آسیا	$\beta\text{-Al}_3\text{Mg}_2$ (27 nm)
زمان آسیاکاری	آسیای گلوله‌ای سیاره‌ای
سرعت گردش آسیا	10 h
محیط آسیا	300 RPM
نسبت وزن گلوله به پودر	گاز آرگون با فشار 1 bar
عامل کنترل فرایند	1 bar
دمای آسیاکاری	اسید استئاریک (1.5 wt.\%)
متغیر	متغیر



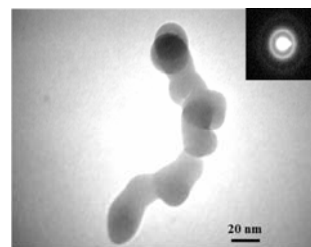
شکل ۵ چگالی نسبی نمونه‌های نانوماده‌ی مرکب فشرده شده‌ی گرم بر حسب درصد وزنی فاز تقویت کننده

افزایش درصد تقویت کننده منجر به کاهش میزان فشردگی نانوماده‌ی مرکب به ازای فشار ثابت در فرایند فشردن گرم شده است. این کاهش چگالی نسبی را می‌توان به کاهش قابلیت فشردگی پودر با در نظر گرفتن فشار ثابت در فشردن گرم مربوط دانست. استحکام مخلوط پودر با افزایش میزان فاز تقویت کننده افزایش می‌یابد. سطح ویژه مخلوط پودر نیز با افزایش میزان نانوذرات افزایش می‌یابد و این منجر به افزایش تخلخل موجود در نانوماده‌ی مرکب می‌شود. از سوی دیگر، آگشته شدن سطح پودر زمینه‌ی آلومینیمی به این نانوذرات، از رخداد پدیده‌ی جوش سرد حین آسیاکاری جلوگیری می‌کند.

بررسی سختی

در شکل (۶)، تأثیر افزایش میزان تقویت کننده بر سختی نمونه‌های نانوماده‌ی مرکب دیده می‌شود. همان‌طور که مشاهده می‌شود، سختی با افزایش درصد وزنی تقویت کننده به‌طور پیوسته افزایش می‌یابد، به‌طوری که از مقدار میانگین ۳۵ برینل برای پودر آلومینیم خالص بدون تقویت کننده $\beta\text{-Al}_3\text{Mg}_2$ تا حدود ۱۷۶ برینل برای نمونه‌ی محتوی ۲۰ درصد تقویت کننده افزایش یافته است.

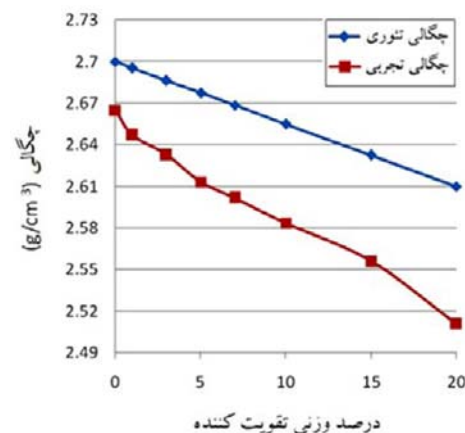
شده‌اند. این نتایج نشان‌دهنده‌ی کاهش اندازه‌ی بلورها تا مقادیر نانومتری است. اندازه‌ی بلورهای ترکیب $\beta\text{-Al}_3\text{Mg}_2$ با استفاده از روش ویلیامسون-هال [۷]، در حدود ۲۱ nm محاسبه شد. در شکل (۳)، تصویر TEM از نانوذرات حاصل با اندازه‌ی حدود ۲۵nm به‌شکل کروی دیده می‌شود.



شکل ۳ تصویر TEM از نانوذرات $\beta\text{-Al}_3\text{Mg}_2$

بررسی چگالی

یکی از ویژگی‌های تقویت کننده‌ی $\beta\text{-Al}_3\text{Mg}_2$ چگالی کمتر آن ($2/25 \text{ g/cm}^3$) نسبت به زمینه‌ی آلومینیم ($2/73 \text{ g/cm}^3$) است و این منجر به کاهش وزن نمونه‌های نانوماده‌ی مرکب با افزایش درصد وزنی آن می‌شود. چگالی نمونه‌های نانوماده‌ی مرکب فشرده شده‌ی گرم به‌روز ارشمیدس محاسبه شد تا اثر میزان فاز تقویت کننده بر چگالی و فشردگی آن‌ها بررسی شود. تغییرات چگالی تئوری، عملی در شکل (۴) و تغییرات چگالی نسبی بر حسب درصد وزنی تقویت کننده در نمونه‌ها، در شکل ۵ نشان داده شده‌اند.

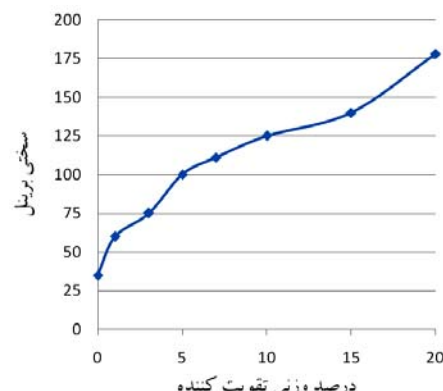


شکل ۴ مقادیر چگالی تئوری و تجربی نمونه‌های نانوماده‌ی مرکب فشرده شده‌ی گرم بر حسب درصد وزنی فاز تقویت کننده

جدول ۳ نتایج آزمون فشار بر روی نمونه‌های نانوماده‌ی مرکب

فسرده شده‌ی گرم با مقادیر مختلف فاز تقویت کننده

(wt.%)	σ_y (MPa)	σ_{UTS} (MPa)	ϵ_f
۰	۸۷	۱۰۴	۰/۸
۱	۲۴۴	۲۹۵	۰/۱۱۲
۳	۳۱۰	۳۵۵	۰/۱۱۰۵
۱۰	۴۲۰	۴۷۵	۰/۱۱۰۱
۱۵	۴۷۰	۵۶۰	۰/۰۹۴
۲۰	۶۲۵	۶۸۵	۰/۰۸۸



شکل ۶ تأثیر افزایش درصد وزنی فاز تقویت کننده بر سختی نمونه‌های نانوماده‌ی مرکب

افزایش کسر حجمی فاز تقویت کننده از یک سو، با کاهش فاصله‌ی میان نانوذرات تقویت کننده (λ) منجر به افزایش استحکام با ممانعت از حرکت نابجایی‌ها می‌شود. به این ترتیب، تنش لازم برای حرکت نابجایی‌ها افزایش می‌یابد. همان‌طور که دیده می‌شود، وجود نانوذرات باعث افزایش چشم‌گیر کارسختی نمونه‌ها شده است. کاهش انعطاف‌پذیری نانوماده‌ی مرکب حاوی مقادیر بالای نانوذرات را می‌توان به افزایش بیش از حد تخلخل با افزایش فاز تقویت کننده مربوط دانست، چرا که میزان بالای تخلخل در نمونه‌ها می‌تواند منجر به کاهش چقلمگی شود. از سوی دیگر، با افزایش بیش از حد میزان نانوذرات، احتمال خوش‌های شدن نانوذرات درون زمینه بیش‌تر می‌شود و این می‌تواند باعث افت خواص مکانیکی نانوماده‌ی مرکب شود.

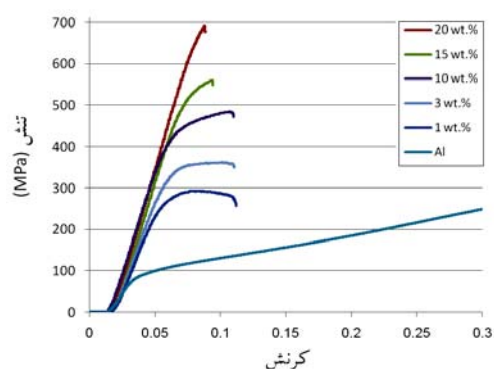
نتیجه‌گیری

۱- در فرایند آسیاکاری مکانیکی پودر اولیه‌ی شمش پیش آلیاژ شده، نانوذرات $\beta\text{-Al}_3\text{Mg}_2$ با اندازه‌ی میانگین ۲۵ نانومتر را می‌توان پس از ۱۰۰ ساعت آسیاکاری با سرعت ۲۷۰ دور در دقیقه و نسبت وزن گلوله به پودر ۱۲ به ۱، سنتز کرد.

۲- تولید نانوماده‌ی مرکب $\text{Al}\text{-}\beta\text{-Al}_3\text{Mg}_2$ با خواص

بررسی استحکام فشاری

در شکل (۷)، نتایج آزمون‌های فشار برای نمونه‌های نانوماده‌ی مرکب به صورت نمودارهای تنش - کرنش حقیقی ارائه شده است. در جدول (۳)، مقادیر استخراج شده از نتایج آزمون فشار آورده شده‌اند. روند افزایشی استحکام تسلیم و استحکام فشاری با افزایش درصد وزنی فاز تقویت کننده به خوبی دیده می‌شود. از طرف دیگر، افزوده شدن نانوذرات $\beta\text{-Al}_3\text{Mg}_2$ منجر به تردی و کاهش کرنش نهایی شده است. این کاهش به‌ازای مقادیر بیش از ۱۰ درصد وزنی بسیار بیش‌تر است. سازوکار استحکام بخشی در این نانوماده‌ی مرکب، تشکیل حلقه‌های نابجایی اُرُوان می‌باشد. پس از عبور نابجایی، حلقه‌ی نابجایی در اطراف ذره تقویت کننده باقی می‌ماند و این منجر به افزایش استحکام می‌شود.



شکل ۷ نمودارهای تنش - کرنش حقیقی برای نمونه‌های نانوماده‌ی مرکب با درصدهای وزنی مختلف فاز تقویت کننده

کرنش نهایی، به خصوص برای مقادیر بیش از ۱۰ درصد وزنی فاز تقویت کننده، کاسته شد که این نشان دهنده‌ی ترد بودن نانوماده‌ی مرکب است.

۴- چگالی نمونه‌های نانوماده‌ی مرکب به تدریج با افزایش درصد وزنی نانوذرات تقویت کننده‌ی β - Al_3Mg_2 کاهش یافت. از سوی دیگر، با افزایش میزان این فاز، بهویژه در مقادیر بالاتر از ۱۰ درصد وزنی، میزان تخلخل و حفره‌های درون زمینه در نتیجه‌ی کاهش قابلیت فشردگی پودر افزایش و چگالی نسبی کاهش یافت.

mekanikي مطلوب با آلياًزاساري مکانيكى و فشردن (پرس‌کاري) گرم امکان‌پذير است. با افزودن تقویت کننده می‌توان سختی نمونه‌های نانوماده‌ی مرکب زمینه آلومینیمی از حدود ۳۵ برینل برای آلومینیم خالص به حدود ۱۷۶ برینل افزایش داد.

۳- خواص مکانیکی ماده‌ی مرکب تحت تنش‌های فشاری مانند تنش تسلیم و تنش فشاری، با افزایش میزان فاز تقویت کننده افزایش یافت. تنش تسلیم از حدود ۸۷ MPa برای آلومینیم خالص تا حدود ۶۲۵ MPa برای ماده‌ی مرکب Al -wt.% β - Al_3Mg_2 افزایش یافت، اما در مقابل، از میزان

مراجع

1. Cole, G. S., Sherman AM. "Light weight materials for automotive applications". Materials Characterization, Vol. 35, Issue 1, pp. 3-9, (1995).
2. Harris, B., Engineering composite materials. Second Edition; IOM communications editors, pp. 20-27, (1999).
3. Miracle, D. B., Metal matrix composites – From science to technological significance. Composites Science and Technology, Vol. 65, pp. 2526–2540, (2005).
4. Clyne, T. W. and Withers, P. J., An introduction to metal matrix composites. Cambridge: Cambridge University Press; (1993).
5. Slipenyuk, A., Kuprin, V., Milman, Y., Goncharuk, V. and Eckert, J., Properties of P/M processed particle reinforced metal matrix composites specified by reinforcement concentration and matrix-to-reinforcement particle size ratio. Acta Materialia, Vol. 54, pp. 157–166, (2006).
6. Scudino, S., Liu, G., Prashanth, K. G., Bartusch, B., Surreddi, K. B. Murty, B. S. and Eckert, J., Mechanical properties of Al-based metal matrix composites reinforced with Zr-based glassy particles produced by powder metallurgy. Acta Mater, Vol. 57, pp. 2029–2039, (2009).
7. Khakbiz, M. and Akhlaghi, F., Synthesis and structural characterization of Al-B4C nanocomposite powders by mechanical alloying. J Alloy Compd, Vol. 479, pp. 334–341, (2009).
8. Nemati, N., Khosroshahi, R., Emamy, M. and Zolriasatein, A., Investigation of microstructure, hardness and wear properties of Al-4.5wt.%Cu-TiC nanocomposites produced by mechanical milling. J Mater Des, Vol., 32, pp. 3718–3729, (2011).
9. Liu, Y. Q., Conga, H. T., Wang, W., Sun, C. H. and Cheng, H. M., AlN nanoparticle-reinforced nanocrystalline Al matrix composites: Fabrication and mechanical properties. Mater Sci Eng A, Vol.

- 505, pp. 151–156, (2009).
10. Poirier, D., Drew, R. A. L., Trudeau M. L. and Gauvina R. Fabrication and properties of mechanically milled alumina/aluminum Nanocomposites, Mater Sci Eng A, Vol. 527, pp.7605–7614, (2010).
 11. Perez-Bustamante, R., Estrada-Guel, I., Antunez-Flores, W., Miki-Yoshida, M., Ferreira, P. J. and Martinez-Sanchez, R., Novel Al-matrix nanocomposites reinforced with multi-walled carbon nanotubes, J Alloy Compd, Vol. 450, pp. 323–326, (2008).
 12. Urban, K. and Feuerbacher, M., Structurally complex alloy phases, J Non-Cryst Solids, Vol. 334&335, pp. 143–150, (2004).
 13. Scudino, S., Liu, G., Sakaliyska, M., Surreddi, K.B. and Eckert, J., Powder metallurgy of Al-based metal matrix composites reinforced with β -Al₃Mg₂ intermetallic particles: Analysis and modeling of mechanical properties, Acta Mater, Vol. 57, pp. 4529–4538, (2009).
 14. Chwalek, M. L., Balanetskyy, S., Thomas, C., Roitsch, S. and Feuerbacher, M., Single-crystal growth of the complex metallic alloy phase β -Al-Mg, Intermetallics, Vol. 15, pp. 1678-1685, (2007).
 15. Sikora, W., Malinowski, J., Kuna, A. and Pytlik, L., Symmetry analysis in the investigation of clusters in complex metallic alloys, J Phys doi:10.1088/1742-6596/104/1/012023.
 16. Murray, J.L., Al-Mg (aluminium magnesium). In: Nayeb-Hashemi, A. A. and Clark, J. B., editors. Phase diagrams of binary magnesium alloys. Metals Park, Ohio: ASM International, pp. 17-34, (1988).
 17. Roitsch, S., Heggen, M., Lipinska-Chwalek, M. and Feuerbacher, M., Single-crystal plasticity of the complex metallic alloy phase β -Al-Mg, Intermetallics, Vol. 15, pp. 833-837, (2007).
 ۱۸. ذوالیاستین، ا.، آذری خسروشاهی، ر. و امامی، م.، ساخت نانو کامپوزیت های مستحکم و سبک زمینه آلومینیومی با نانوذرات تقویت-کننده بین فلزی β -Al₃Mg₂ به روش آلیاژ سازی مکانیکی و پرس گرم، ثبت اختصاری با شماره ثبت: ۷۱۴۲۷، (۱۳۹۰).